

Approximationsschemata in Ablaufplanung, Graphentheorie und Geometrie

# Geometrische Spannbäume minimalen Durchmessers

(engl.: Geometric Minimum-Diameter Spanning Tree, GMDST)

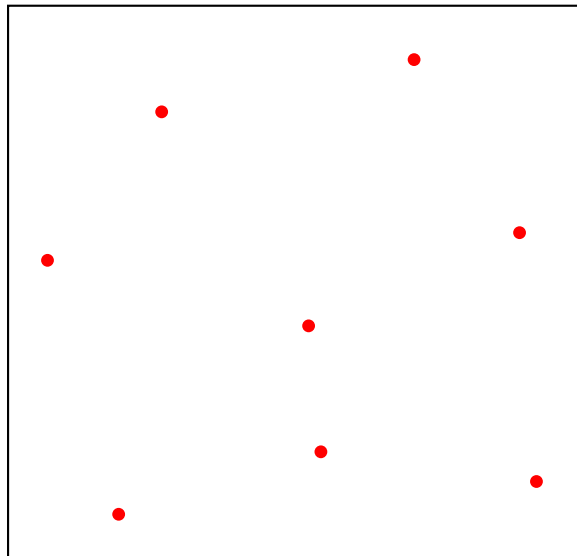
Markus Völker

SS 2004

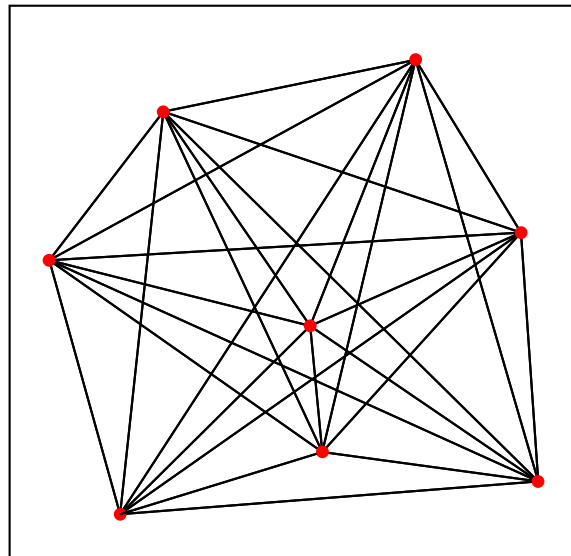
# Überblick

- Begriffsdefinitionen
- Eigenschaften von GMDSTs
- Exakter Algorithmus mit Laufzeit  $\Theta(n^3)$
- $\varepsilon$ -approximativer Algorithmus mit Laufzeit  $O(n + \frac{1}{\varepsilon^3})$
- Zusammenfassung

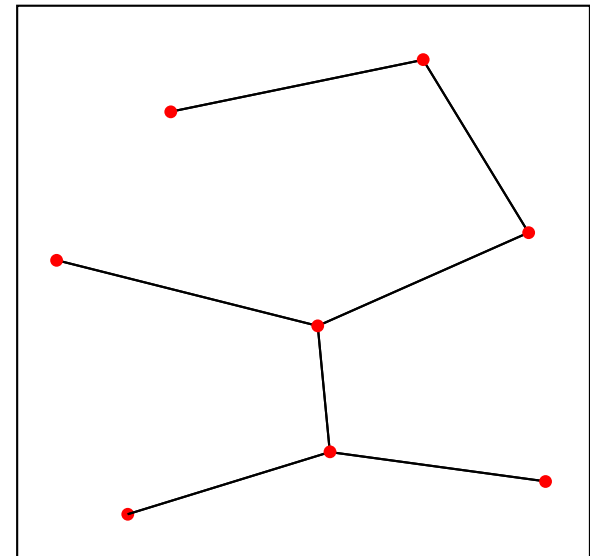
# Geometrischer Spannbaum



(a) Punktmenge in der euklidischen Ebene

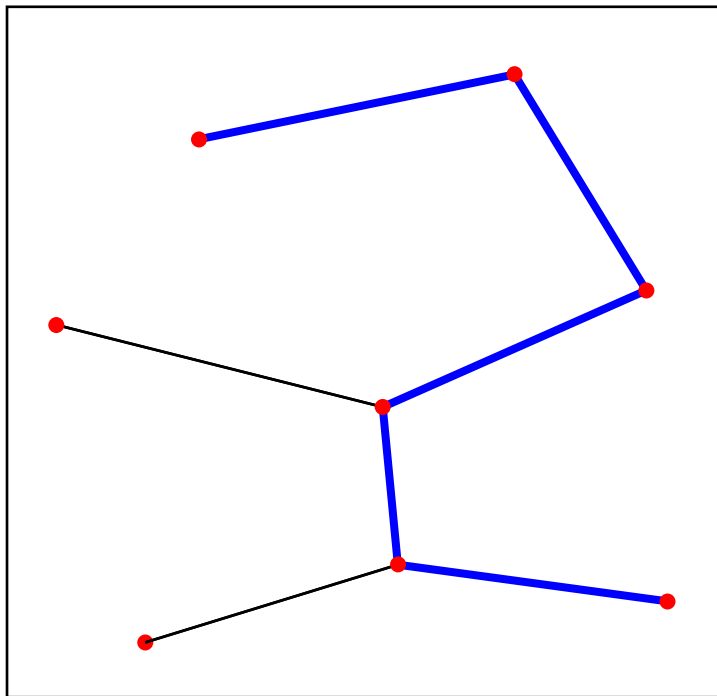


(b) durch die Punktmenge induzierter gewichteter Graph

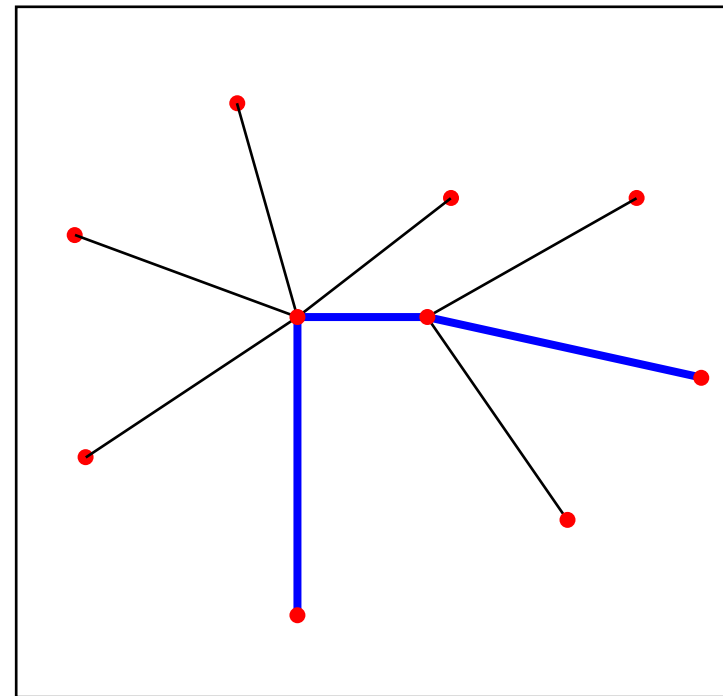


(c) Geometrischer Spannbaum

## Durchmesser eines Spannbaums und Geometrischer Spannbaum minimalen Durchmessers



(a) Durchmesser eines Spannbaums



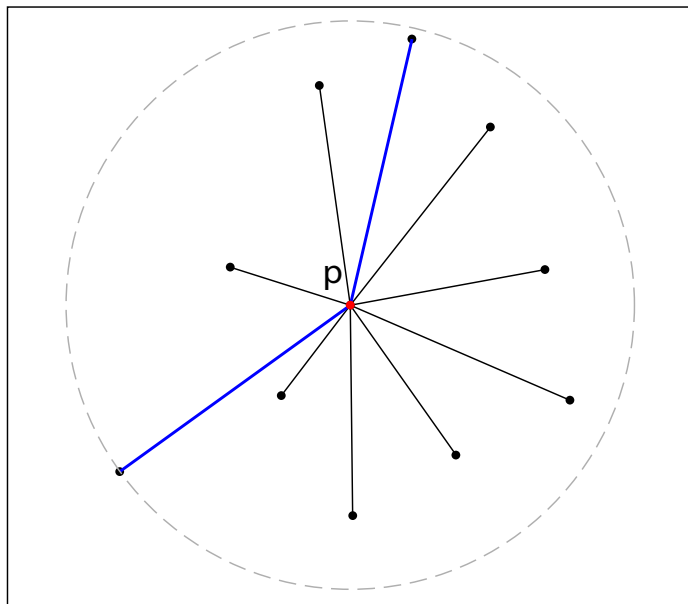
(b) Geometrischer Spannbaum mit minimalem Durchmesser

## Historisches

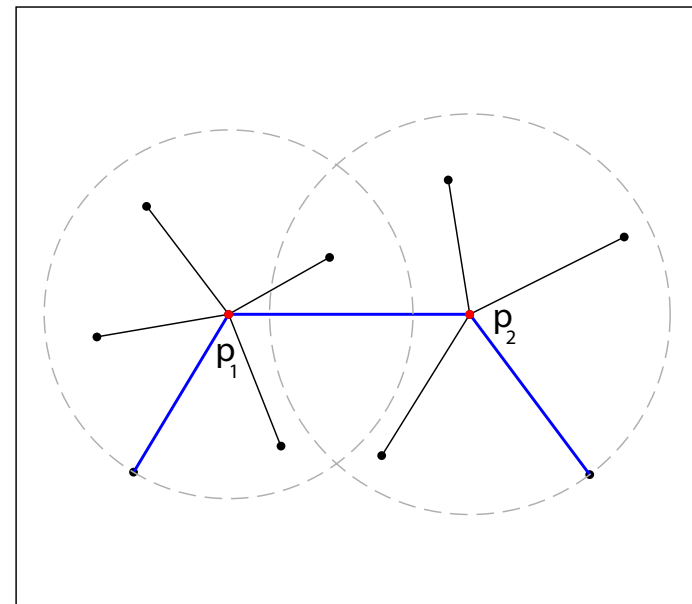
- 1991, J. Ho, D. Lee, C. Chang, C. Wong
  - exakter Algorithmus, Laufzeit  $O(n^3)$
- 2002, Timothy Chan
  - exakter Algorithmus, Laufzeit  $O(n^{\frac{17}{6}})$
- 2002, J. Gudmundsson, H. Haverkort, S.-M. Park, C.-S. Shin, A. Wolff
  - $\varepsilon$ -approximativer Algorithmus
  - Laufzeit  $O(\frac{n}{\varepsilon^3} + \frac{n \log n}{\varepsilon})$ , Speicherbedarf  $O(\frac{n}{\varepsilon^2} + n \log n)$
- 2003, M. Spriggs, M. Keil, S. Bespamyatnikh, M. Segal, J. Snoeyink
  - $\varepsilon$ -approximativer Algorithmus
  - Laufzeit  $O(n + \frac{1}{\varepsilon^3})$ , Speicherbedarf  $O(n)$

# Eigenschaften minimaler Spannbäume

**Lemma 1.** *Zu jeder Punktmenge existiert ein monopolarer oder ein dipolarer GMDST.*



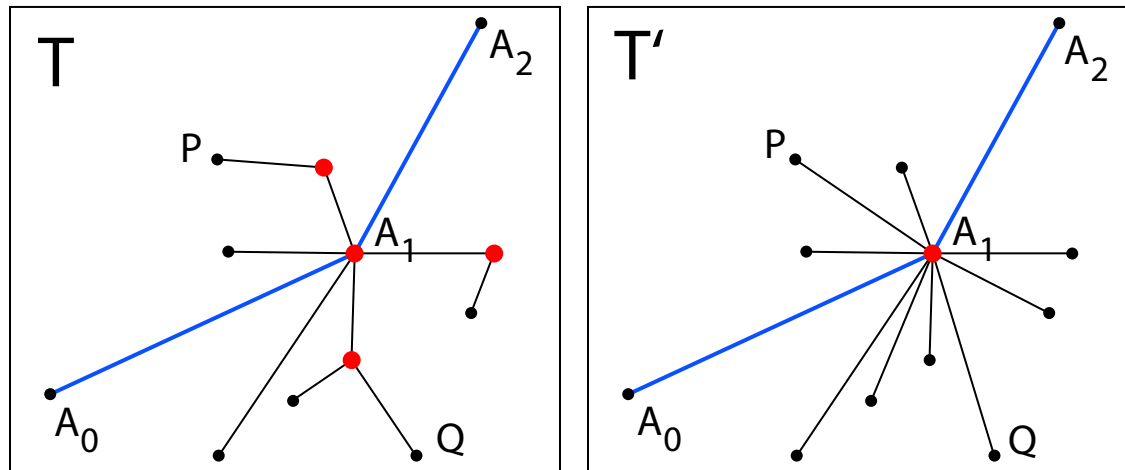
(a) Monopolarer GMDST



(b) Dipolarer GMDST

# Beweis zu Lemma 1

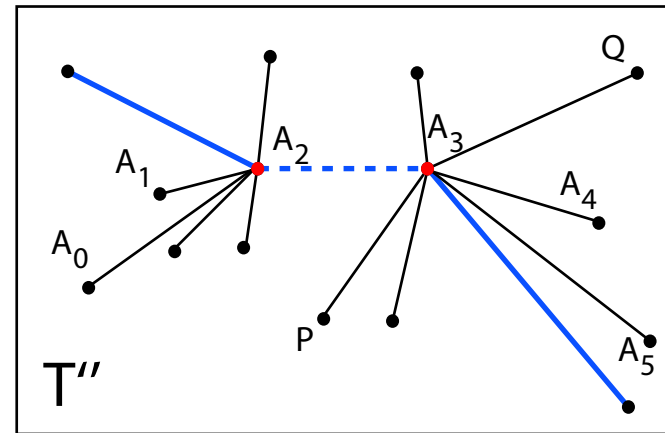
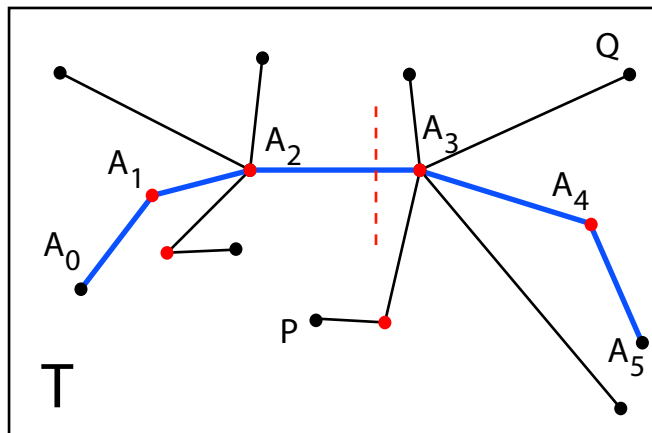
1. Fall: *es existiert ein Durchmesser mit 2 Kanten*



$$\begin{aligned}
 \text{dist}_{T'}(P, Q) &= |P, A_1| + |A_1, Q| \\
 &\leq \text{dist}_T(P, A_1) + \text{dist}_T(A_1, Q) \\
 &\leq |A_0, A_1| + |A_1, A_2| \\
 &= \mathcal{D}_T
 \end{aligned}$$

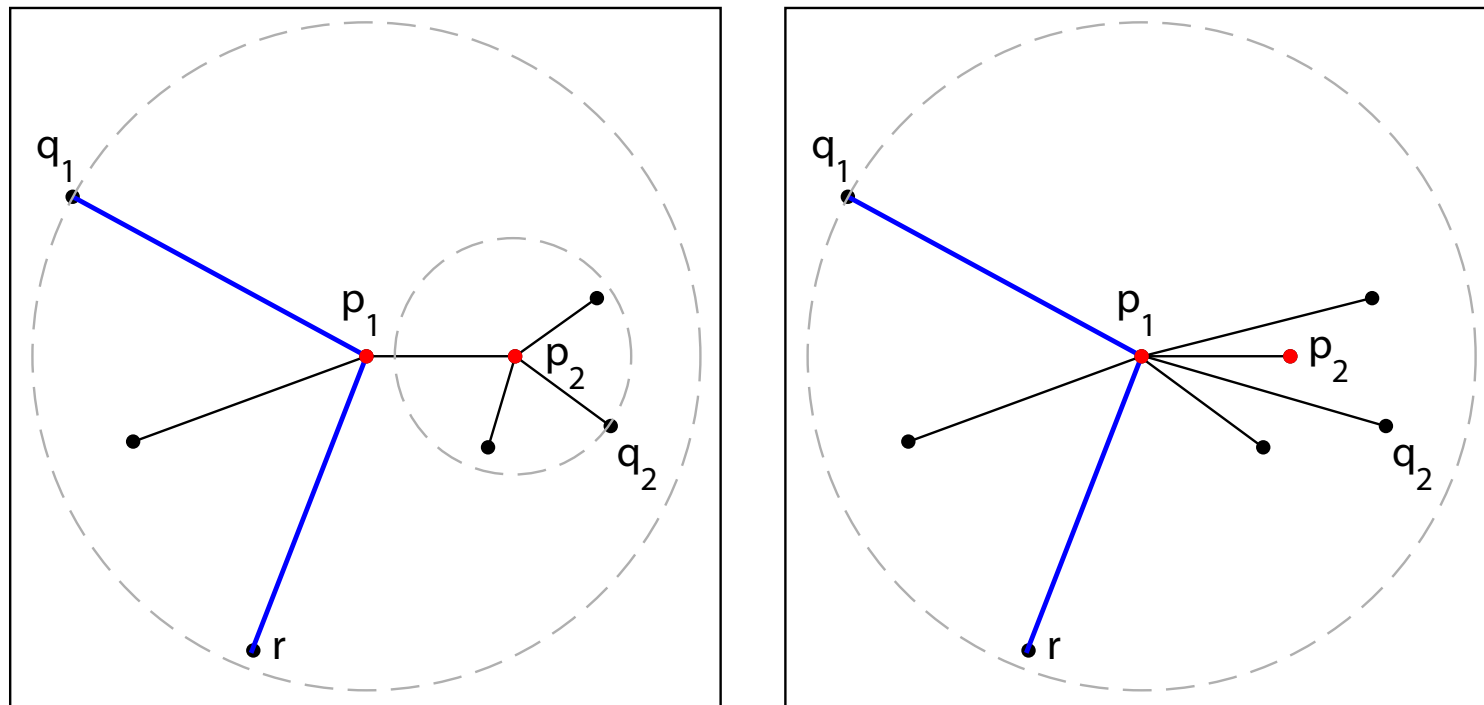
## Beweis zu Lemma 1

2. Fall: alle Durchmesser besitzen mindestens 3 Kanten



$$\begin{aligned}
 \text{dist}_{T''}(P, Q) &= |P, A_3| + |A_3, Q| \\
 &\leq \text{dist}_T(P, A_3) + \text{dist}_T(A_3, Q) \\
 &\leq \text{dist}_T(A_3, A_5) + \text{dist}_T(A_3, A_5) \\
 &\leq \text{dist}_T(A_0, A_3) + \text{dist}_T(A_3, A_5) \\
 &= \mathcal{D}_T
 \end{aligned}$$

## Stabilit­tsbedingung f­ur dipolare Spann­b­ume



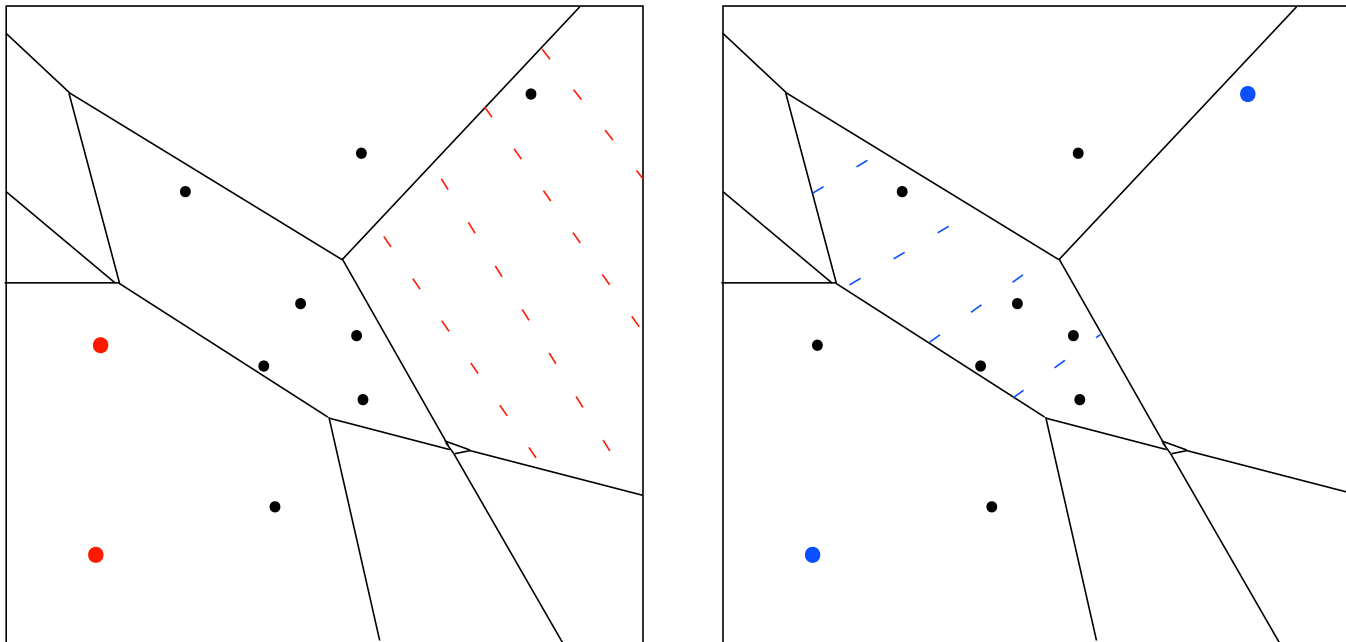
**Lemma 2.** *Umschlie­ft einer der beiden Kreise alle Punkte, so existiert ein monopolarer Spannbaum, der keinen gr­o­beren Durchmesser besitzt als der dipolare. Ansonsten wird der Durchmesser durch einen Pfad mit 3 Kanten bestimmt.*

## Algorithmus zur Bestimmung eines GMDST

- Gegeben: eine Punktmenge  $P$  mit  $n$  Punkten
- Bestimme monopolaren Spannbaum mit minimalem Durchmesser
- Bestimme dipolaren Spannbaum mit minimalem Durchmesser
- Der kleinere der beiden Spannbäume muss dann ein GMDST sein

## Bestimmung eines monopolaren GMDSTs

- Distanz zu den beiden entferntesten Punkten minimieren
- *Second-Order Furthest-Neighbor Voronoi Diagram (SOFNVD)* in  $O(n \log n)$  Zeit
- Optimaler Monopol in  $O(n \log n)$  Zeit



## Bestimmung eines dipolaren GMDSTs

$minSoFar \leftarrow \infty$

**foreach** Punktepaar  $p_1, p_2$  aus  $P$  **do**

sortiere restliche Punkte nach Distanz zu  $p_1$  ins Feld  $L$

**for**  $1 \leq k \leq n - 2$  **do**

verbinde  $p_1$  mit den ersten  $k$  Punkten aus  $L$

verbinde  $p_2$  mit den restlichen Punkten

**if** Stabilitätsbedingung erfüllt **then**

$D \leftarrow |L[k], p_1| + |p_1, p_2| + \max_{l=k+1}^{n-2} |L[l], p_2|$

**if**  $D < minSoFar$  **then**  $minSoFar \rightarrow D$

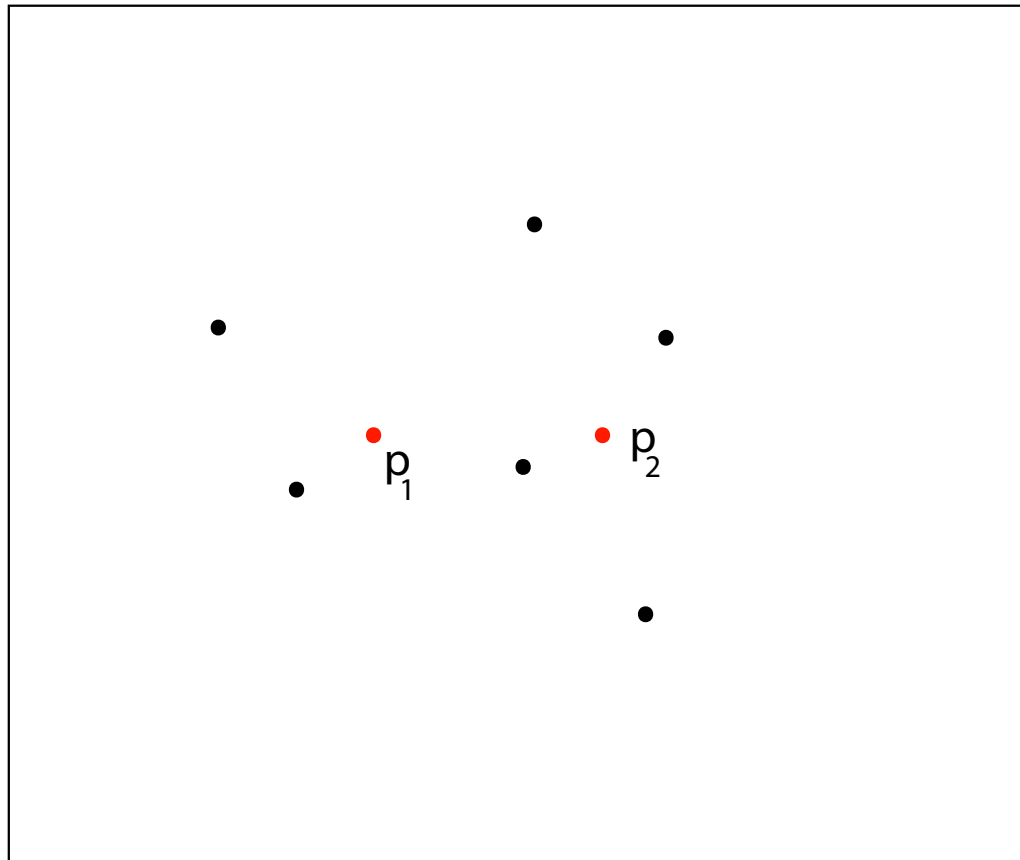
**end**

**end**

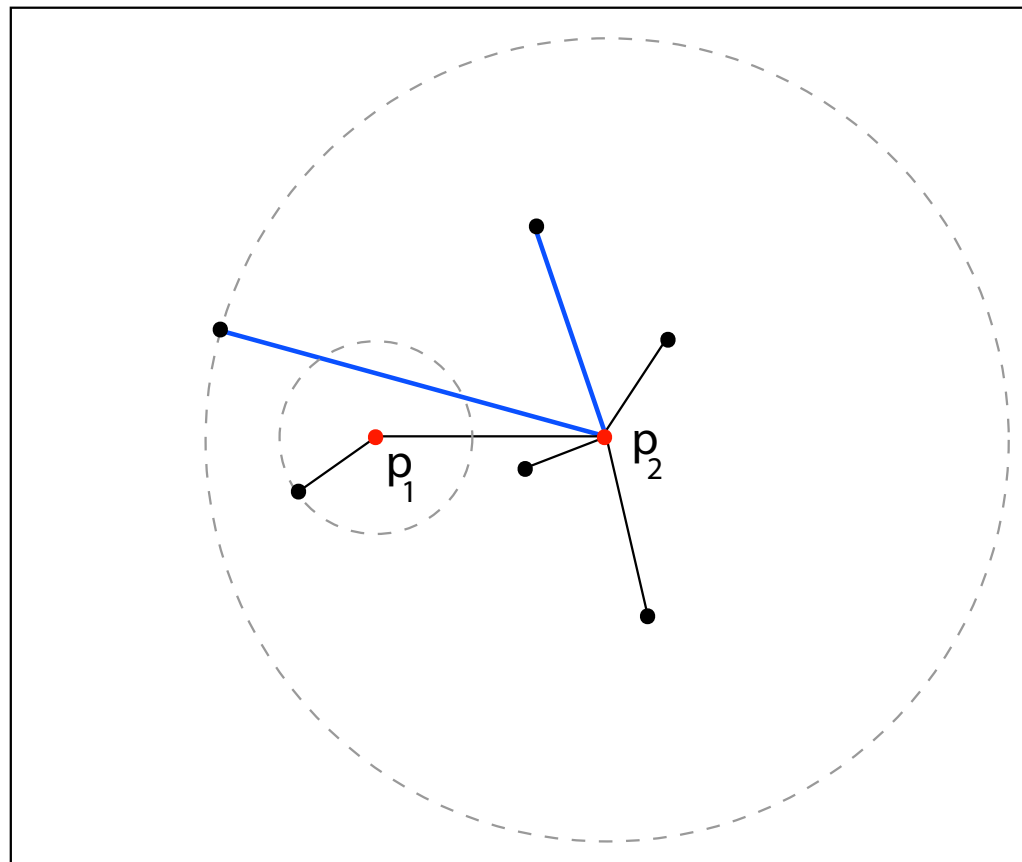
**end**

- in Laufzeit von  $\Theta(n^3)$  möglich

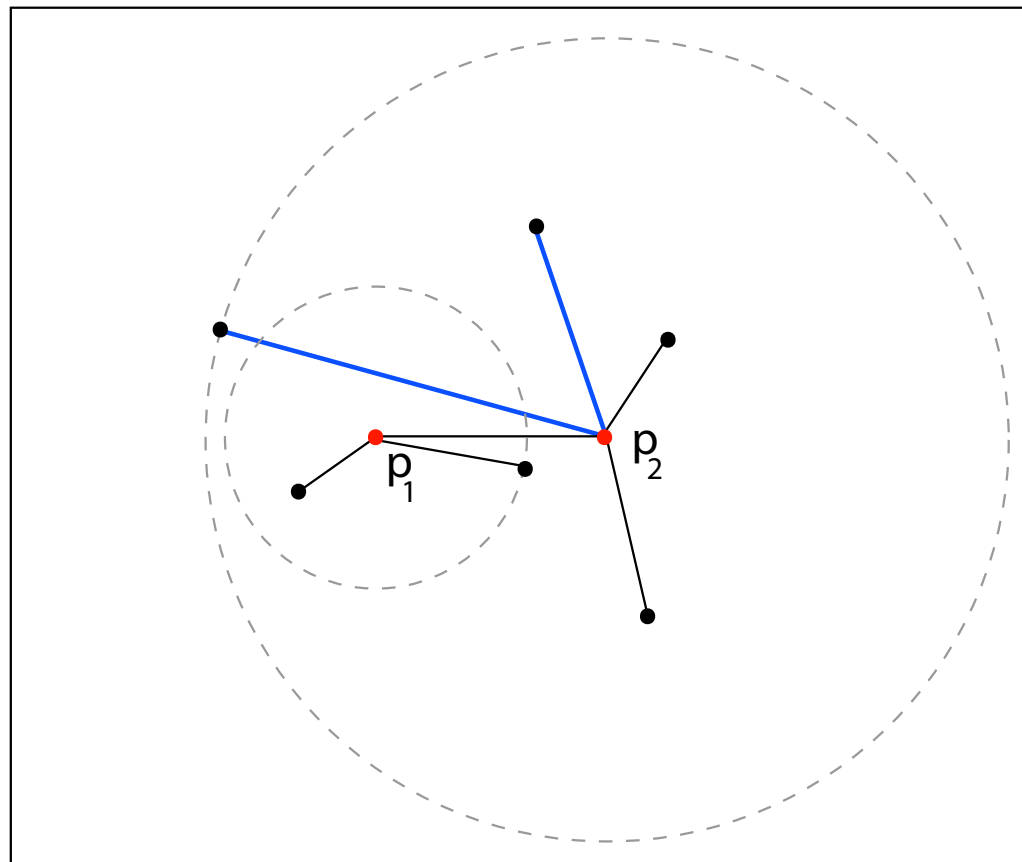
# Animation zur Bestimmung des dipolaren GMDST



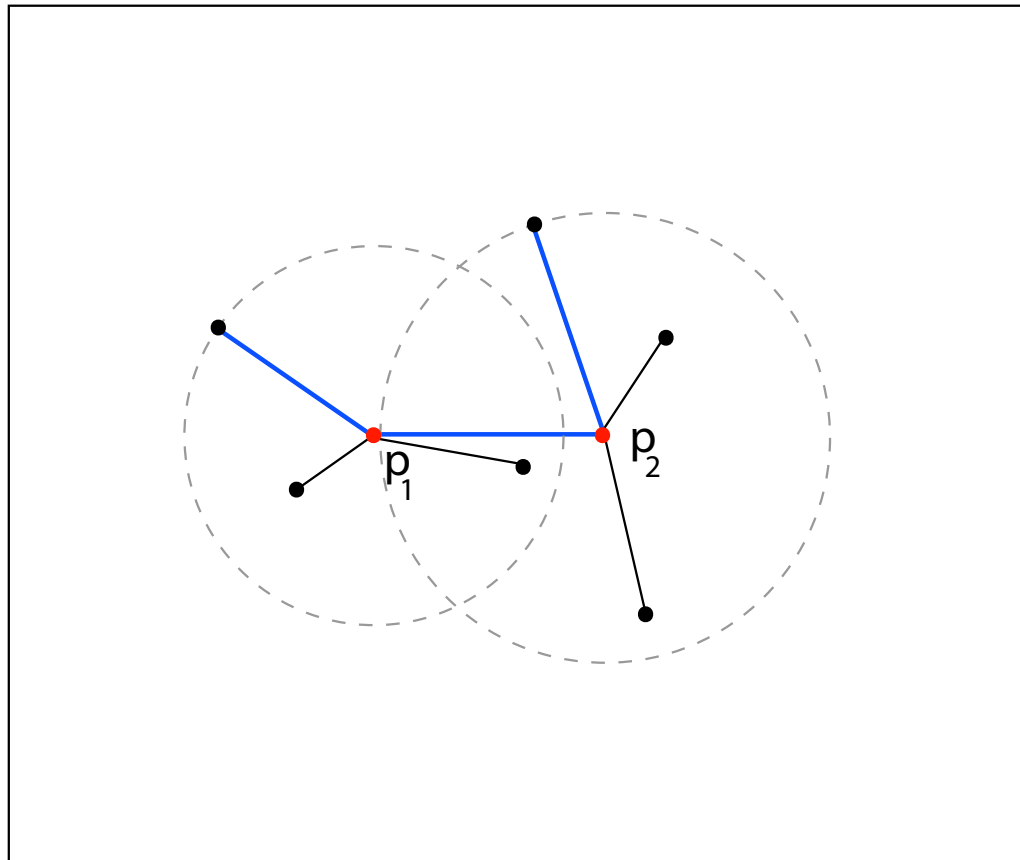
# Animation zur Bestimmung des dipolaren GMDST



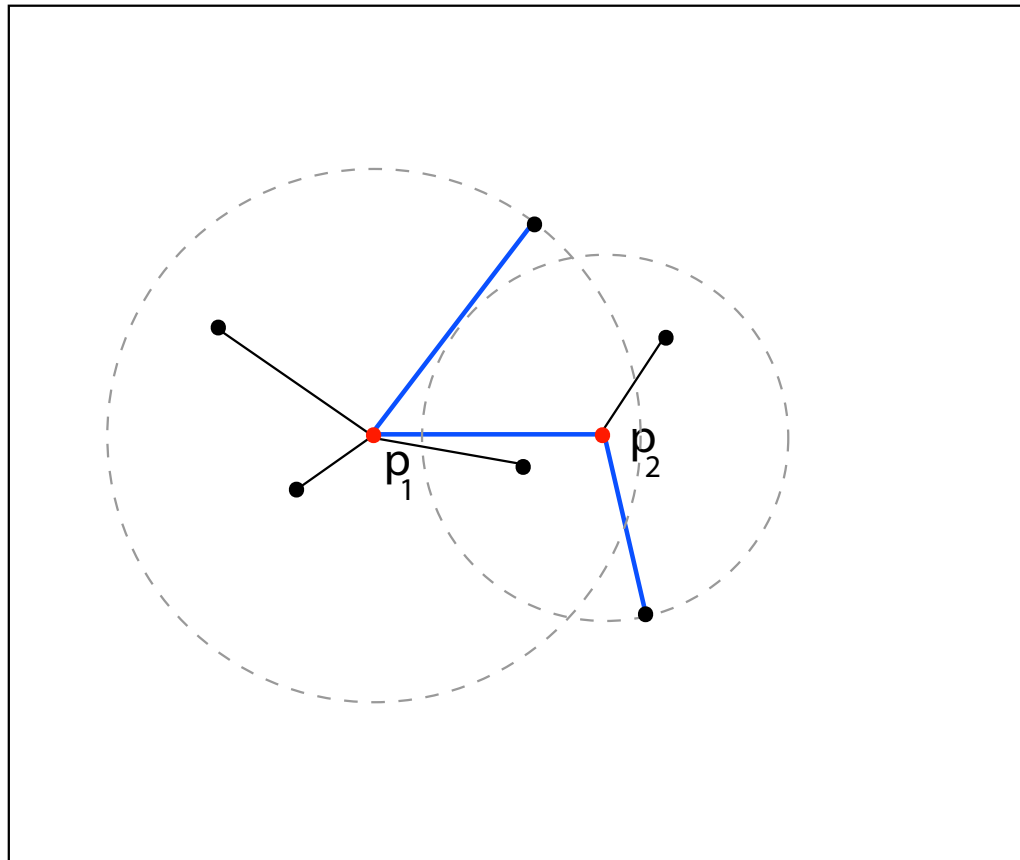
# Animation zur Bestimmung des dipolaren GMDST



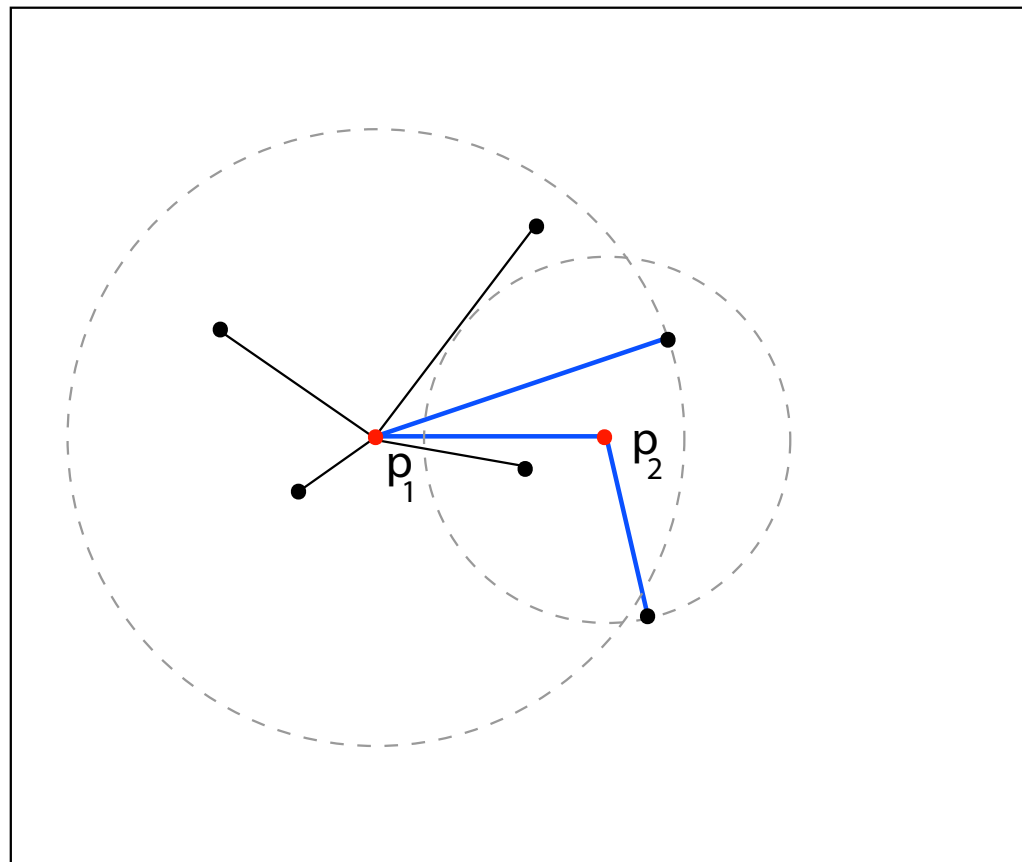
# Animation zur Bestimmung des dipolaren GMDST



# Animation zur Bestimmung des dipolaren GMDST



# Animation zur Bestimmung des dipolaren GMDST

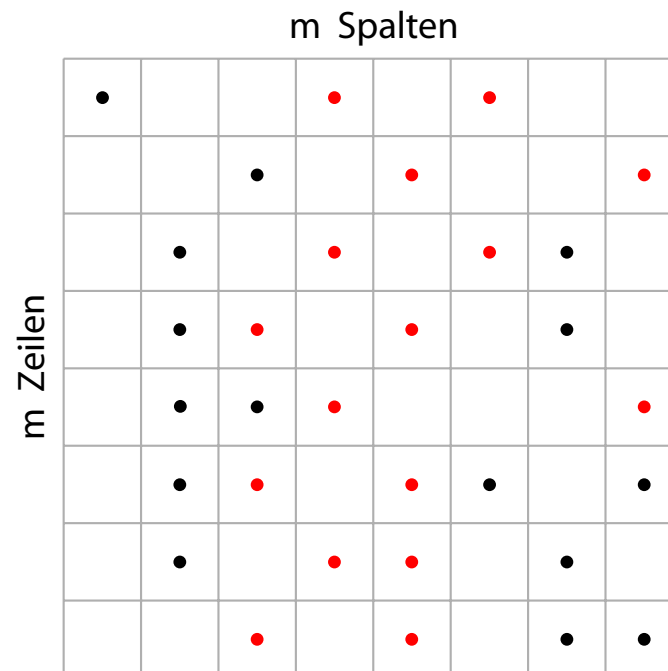


## Ein Approximationsschema zur Annäherung des GMDST

- exakter Algorithmus hat Laufzeit von  $\Theta(n^3)$
- *geringer* Durchmesser ausreichend  $\Rightarrow$  Approximationsschema
- Durchmesser maximal um Faktor  $(1 + \varepsilon)$  größer als der eines GMDST
- Laufzeit  $O(n + \varepsilon^{-3})$
- Speicherbedarf  $O(n)$

## Ein einfacheres Problem (RGMDST)

- Punktmenge auf  $m \times m$ -Gitter angeordnet
- Mono- oder dipolarer Spannbaum mit inneren Knoten in einer Zeile
- 2 Kandidaten in jeder Zeile f­ur die inneren Punkte



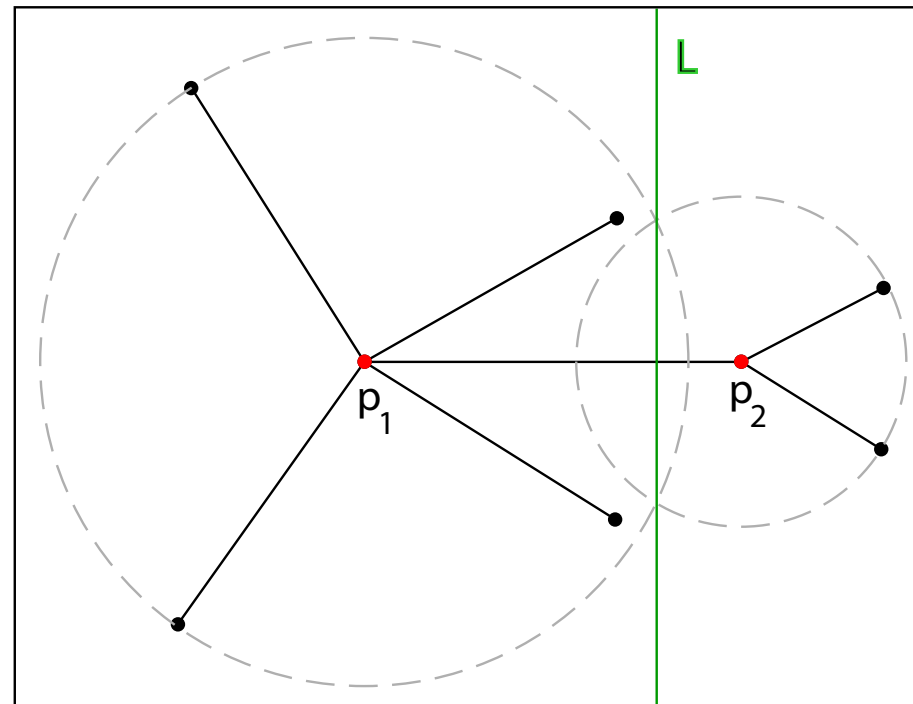
## Lösen des vereinfachten Problems

*Bestimmung eines optimalen monopolaren Spannbaums*

- *SOFNVD* benötigt nur obere und untere beiden Punkte jeder Zeile
- *SOFNVD* der maximal  $4m$  Punkte in  $O(m \log m)$  Zeit
- $2m$  mögliche Monopole
- Durchmesser jedes Monopols in  $O(\log m)$  Zeit
- optimaler monopolarer Spannbaum in  $O(m \log m)$  Zeit

## L­osen des vereinfachten Problems

**Lemma 3.** *Seien  $p_1$  und  $p_2$  innere Knoten eines dipolaren Spannbaumes und bilden  $\overline{p_1 p_2}$  eine horizontale Linie. Dann existiert eine vertikale Trennlinie  $L$ , so dass der Spannbaum, der durch das Verbinden aller Punkte links von  $L$  mit  $p_1$  und aller Punkte rechts von  $L$  mit  $p_2$  entsteht, unter allen Spann­b­umen mit inneren Knoten  $p_1$  und  $p_2$  minimal ist.*



## Lösen des vereinfachten Problems

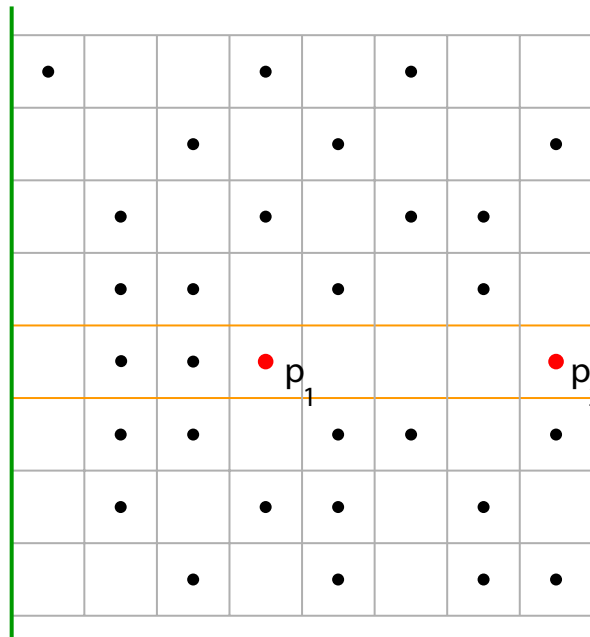
### *Bestimmung eines minimalen dipolaren Spannbaums*

- Bestimme für jede Zeile die vertikale Trennlinie mittels Sweepeline in  $O(m)$  Zeit
  - $l_1(k)$ : Distanz des von  $p_1$  entferntesten Punktes links von Spalte  $k$
  - $r_1(k)$ : Distanz des von  $p_1$  entferntesten Punktes rechts von Spalte  $k$
  - $l_2(k)$ : Distanz des von  $p_2$  entferntesten Punktes links von Spalte  $k$
  - $r_2(k)$ : Distanz des von  $p_2$  entferntesten Punktes rechts von Spalte  $k$

## Lösen des vereinfachten Problems

*Bestimmung eines optimalen dipolaren Spannbauums*

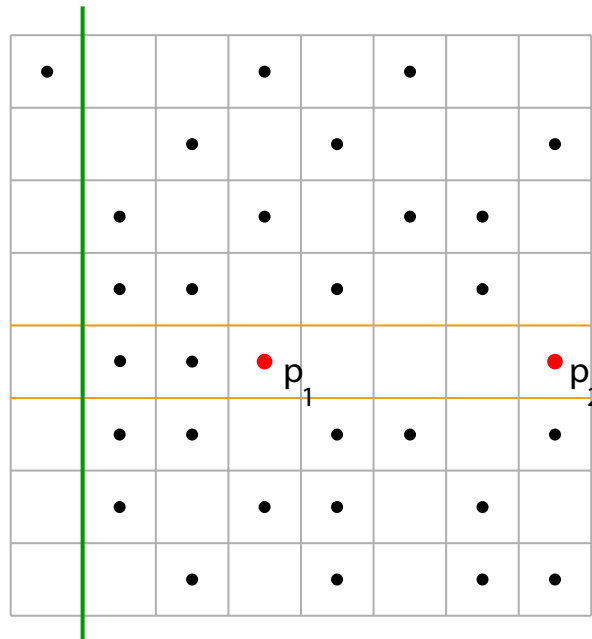
- Bestimme für jede Zeile die vertikale Trennlinie mittels Sweepline in  $O(m)$  Zeit
  - $l_1(k)$ : Distanz des von  $p_1$  entferntesten Punktes links von Spalte  $k$



## Lösen des vereinfachten Problems

*Bestimmung eines optimalen dipolaren Spannbau*

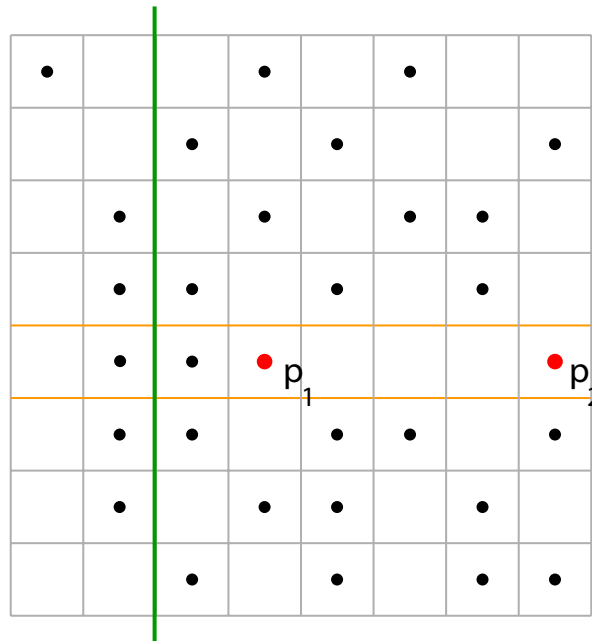
- Bestimme für jede Zeile die vertikale Trennlinie mittels Sweepline in  $O(m)$  Zeit
  - $l_1(k)$ : Distanz des von  $p_1$  entferntesten Punktes links von Spalte  $k$



## Lösen des vereinfachten Problems

*Bestimmung eines optimalen dipolaren Spannbaums*

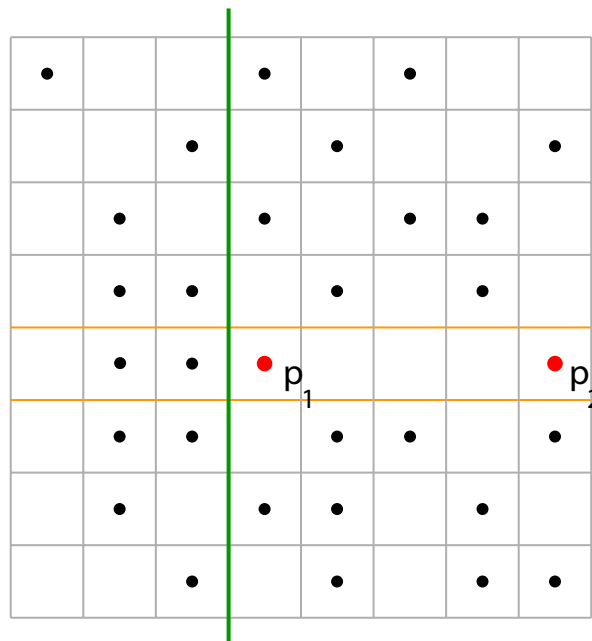
- Bestimme für jede Zeile die vertikale Trennlinie mittels Sweepline in  $O(m)$  Zeit
  - $l_1(k)$ : Distanz des von  $p_1$  entferntesten Punktes links von Spalte  $k$



## Lösen des vereinfachten Problems

*Bestimmung eines optimalen dipolaren Spannbauums*

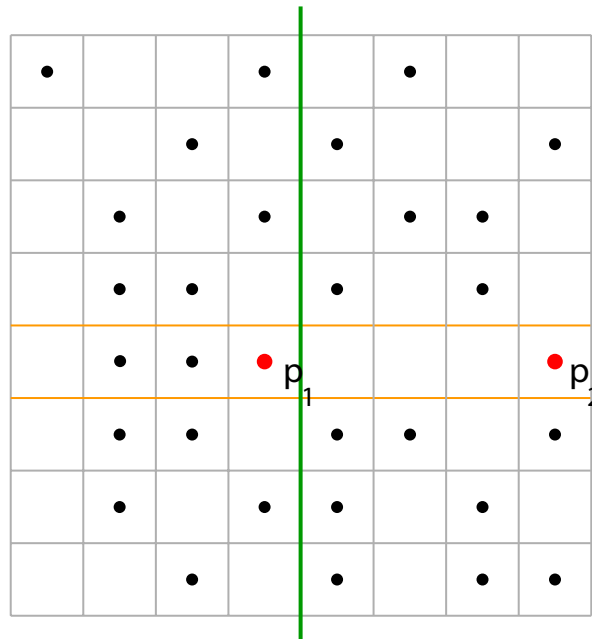
- Bestimme für jede Zeile die vertikale Trennlinie mittels Sweepline in  $O(m)$  Zeit
  - $l_1(k)$ : Distanz des von  $p_1$  entferntesten Punktes links von Spalte  $k$



## Lösen des vereinfachten Problems

*Bestimmung eines optimalen dipolaren Spannbauums*

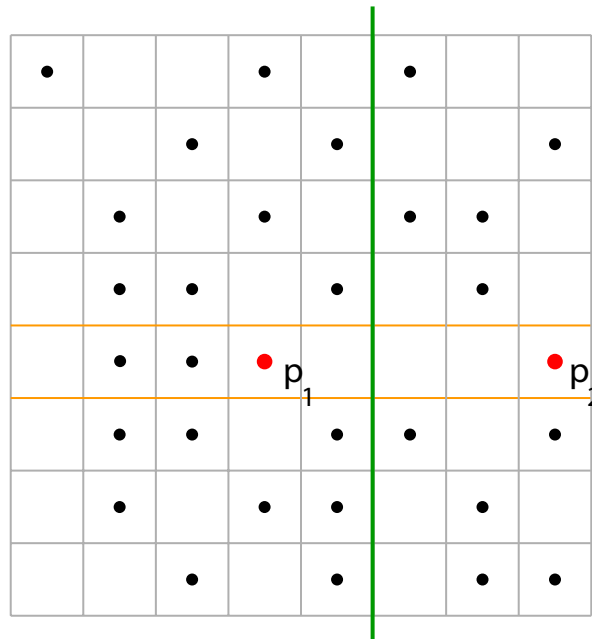
- Bestimme für jede Zeile die vertikale Trennlinie mittels Sweepline in  $O(m)$  Zeit
  - $l_1(k)$ : Distanz des von  $p_1$  entferntesten Punktes links von Spalte  $k$



## Lösen des vereinfachten Problems

*Bestimmung eines optimalen dipolaren Spannbauums*

- Bestimme für jede Zeile die vertikale Trennlinie mittels Sweepline in  $O(m)$  Zeit
  - $l_1(k)$ : Distanz des von  $p_1$  entferntesten Punktes links von Spalte  $k$



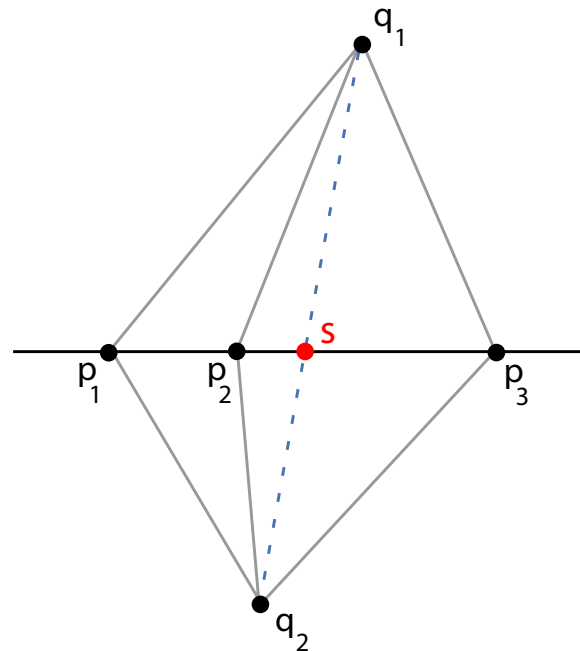
## Lösen des vereinfachten Problems

### *Bestimmung eines optimalen dipolaren Spannbau*

- Bestimme für jede Zeile die vertikale Trennlinie mittels Sweepline in  $O(m)$  Zeit
  - $l_1(k)$ : Distanz des von  $p_1$  entferntesten Punktes links von Spalte  $k$
  - $r_1(k)$ : Distanz des von  $p_1$  entferntesten Punktes rechts von Spalte  $k$
  - $l_2(k)$ : Distanz des von  $p_2$  entferntesten Punktes links von Spalte  $k$
  - $r_2(k)$ : Distanz des von  $p_2$  entferntesten Punktes rechts von Spalte  $k$
- Stabilitätsbedingung:  $l_1(k) < r_1(k + 1)$  und  $r_2(k + 1) < l_2(k)$
- Durchmesser:  $D = l_1(k) + d(p_1, p_2) + r_2(k + 1)$
- optimaler Durchmesser für jede Zeile in  $O(m)$  Zeit
- optimaler dipolarer Spannbaum in  $O(m^2)$  Zeit

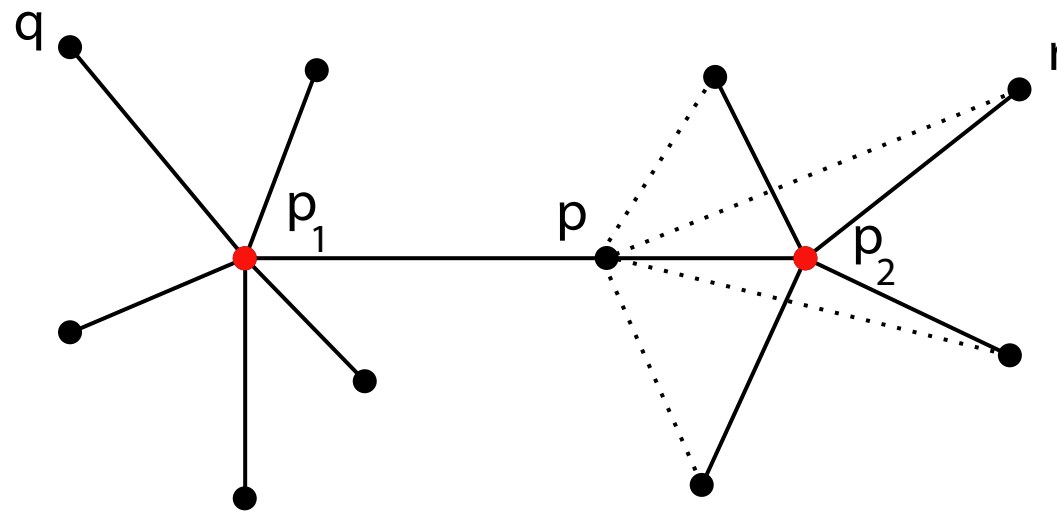
## Der Steiner-Monopol

- Steiner-Monopol der Geraden: Punkt auf der Geraden, der als Monopol den Durchmesser des resultierenden Spannbaumes minimiert
- Steiner-Monopol muss in  $P$  nicht enthalten sein



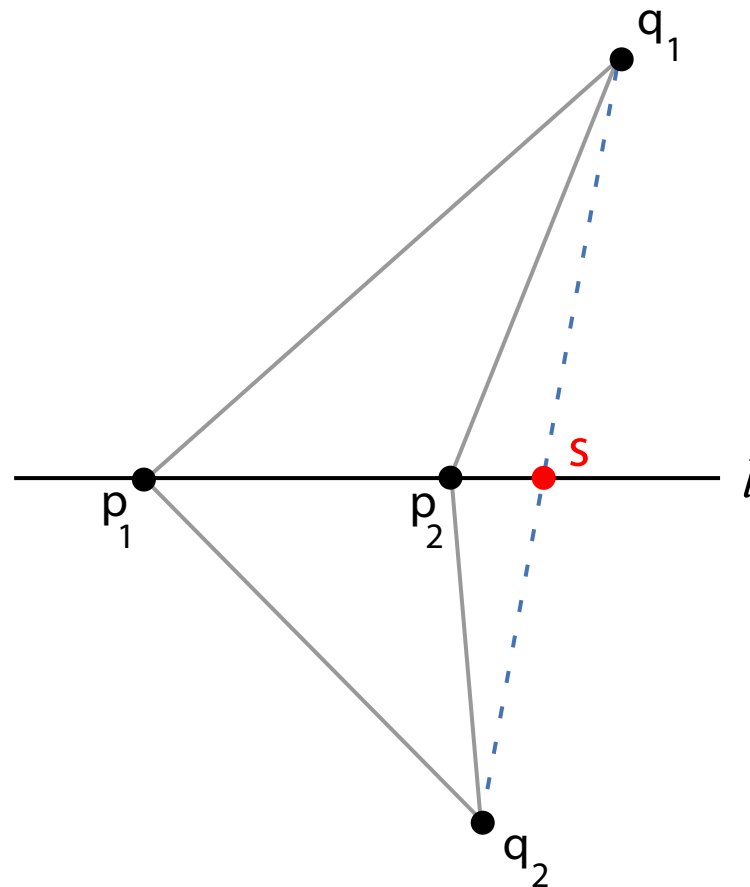
## Eigenschaften optimaler Dipole

- Es existieren optimale Dipole, zwischen denen kein anderer Punkt mehr liegt



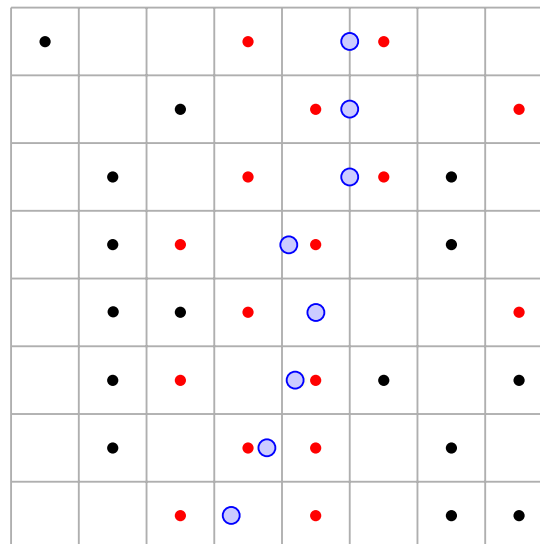
## Eigenschaften optimaler Dipole

- Der Steiner-Monopol der Gerade liegt zwischen den optimalen Dipolen



## Bestimmung der Kandidaten für die inneren Punkte

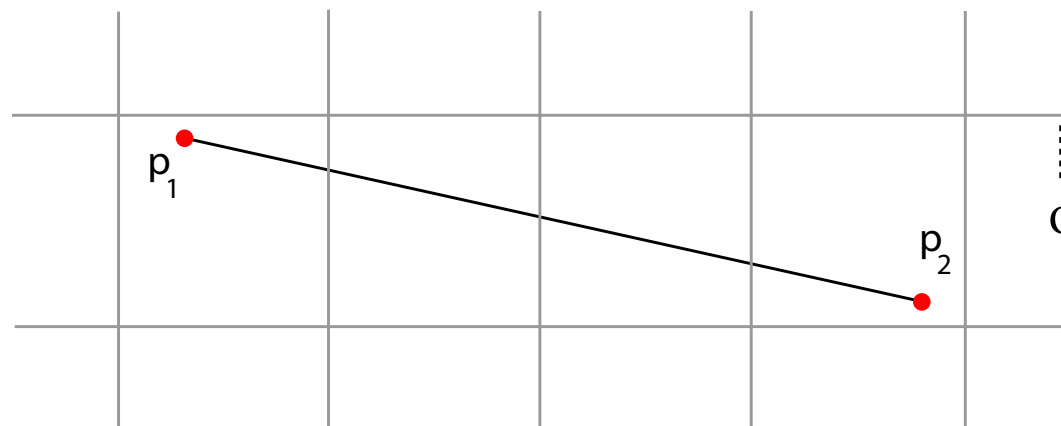
- *SOFNVD* der Punktmenge in  $O(m \log m)$  Zeit
- Steiner-Monopol jeder Zeile in  $O(m)$  Zeit bestimmen



- Bestimmung aller Kandidaten somit in  $O(m^2)$  Zeit

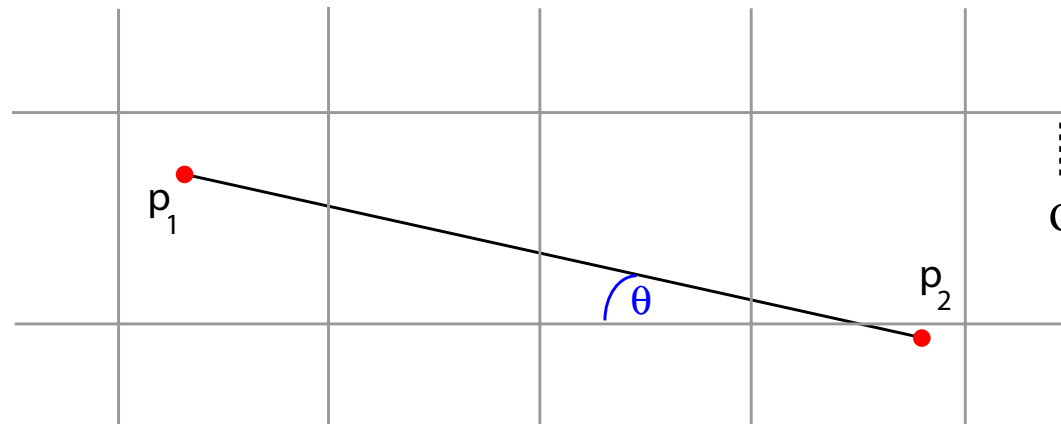
## Gitter-Transformation - Eigenschaften des Gitters

- Problem soll in Instanzen des vereinfachten Problems transformiert werden
- Ebene mit Gitter überlagern
- innere Punkte des GMDST sollen in einer Zeile liegen
- Frage: Wie muss  $\phi$  gewählt werden?

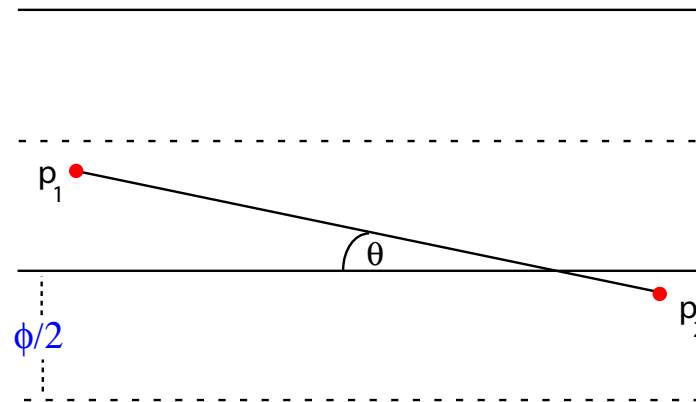


## Gitter-Transformation - Eigenschaften des Gitters

- $\mathcal{D} :=$  Abstand der zwei entferntesten Punkte in  $P$
- $\overline{p_1 p_2} \leq \mathcal{D}$  ( $p_1$  und  $p_2$  sind die Dipole des GMDST)
- wähle  $\sin \theta < \frac{\phi}{\mathcal{D}}$   
 $\Rightarrow p_1$  und  $p_2$  können in Gitter mit Zeilenhöhe  $\phi$  in einer Zeile liegen



## Gitter-Transformation - Eigenschaften des Gitters

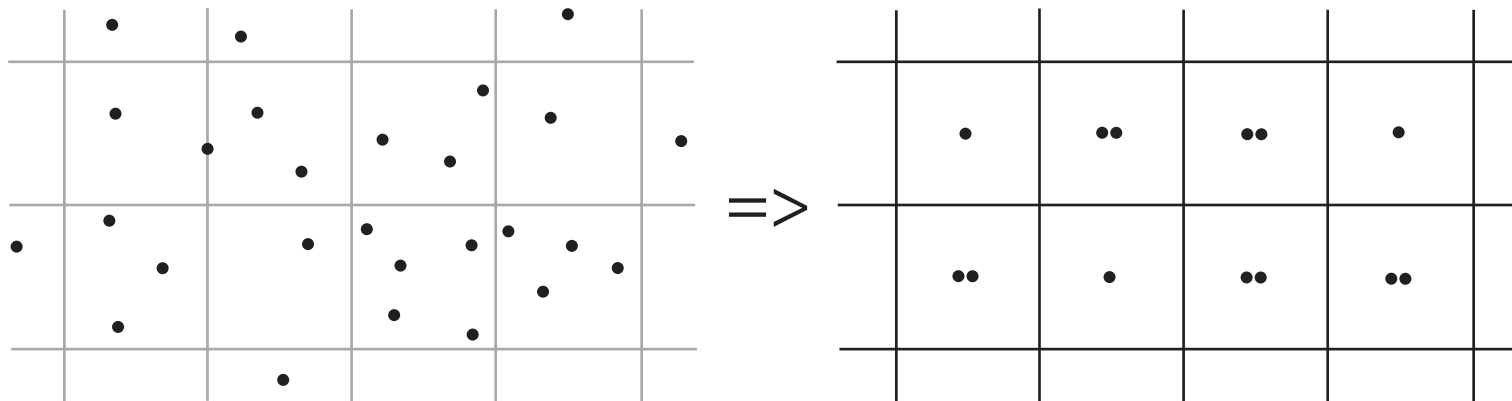


- Verlange  $\sin \theta < \frac{\phi}{2D}$   
 $\Rightarrow$  es müssen nur 2 Gitter im Abstand  $\frac{\phi}{2}$  betrachtet werden
- alle Orientierungen von  $p_1p_2$  berücksichtigen  
 $\Rightarrow$  mehrere Orientierungen des Gitters
- Anzahl der Gitter-Orientierungen:  $\frac{\pi}{\arcsin(\phi/2D)} = O\left(\frac{D}{\phi}\right)$

# Gitter-Transformation

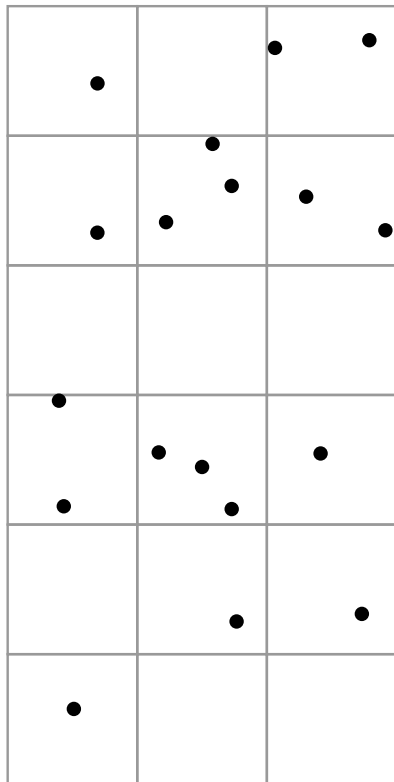
F­ur alle Orientierungen:

- Instanz des vereinfachten Problems erzeugen

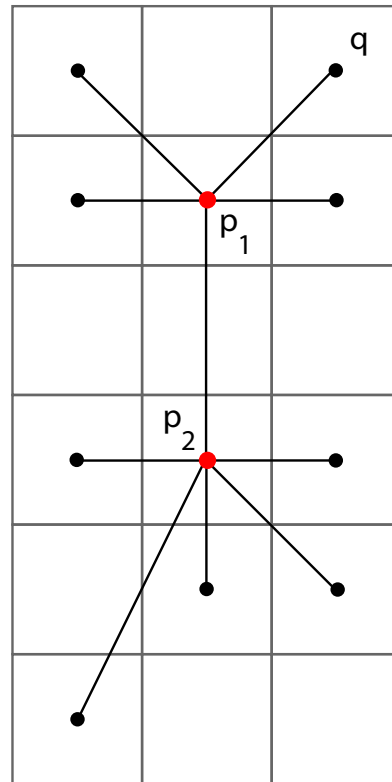


- Vereinfachtes Problem l­osen
- Spannbaum f­ur Ursprungsproblem aus L­osung erzeugen

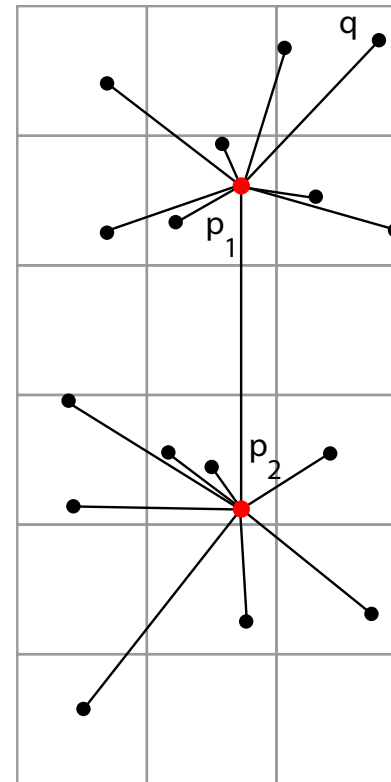
# Rücktransformation



Ausgangsproblem

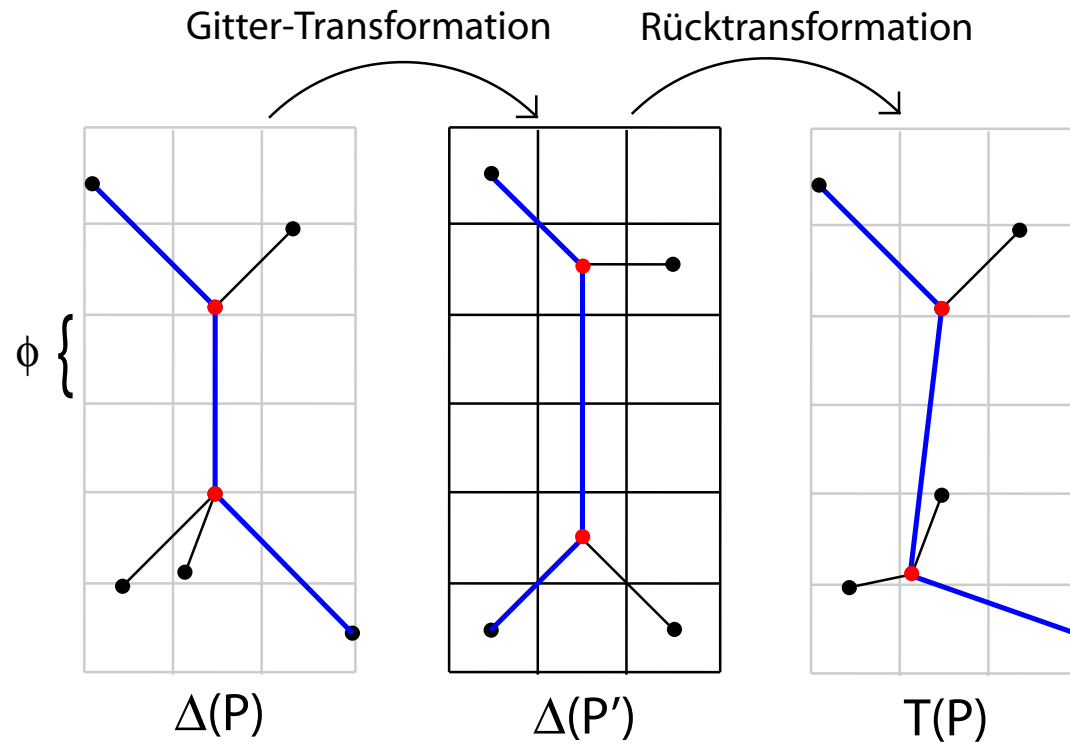


Lösung vereinfachtes Problem



Näherungslösung Ausgangsproblem

## Güte des erzeugten Spannbaums



$$\begin{aligned}
 |\Delta(P')| &\leq |\Delta(P)| + 3\sqrt{2}\phi \\
 |T(P)| &\leq |\Delta(P')| + 3\sqrt{2}\phi \\
 \Rightarrow |T(P)| &\leq |\Delta(P)| + 6\sqrt{2}\phi
 \end{aligned}$$

**Satz 1.** *Gegeben eine Menge  $P$  von  $n$  Punkten in der Ebene, existiert ein Algorithmus, der f­ur jedes  $\varepsilon > 0$  einen  $(1 + \varepsilon)$ -approximativen GMDST von  $P$  in Laufzeit  $O(\varepsilon^{-3} + n)$  und mit Speicherbedarf  $O(n)$  bestimmt.*

## Beweis zu Satz 1

- $\varepsilon < \frac{1}{n}$ 
  - $\Rightarrow$  Algorithmus von Ho et al.,
  - $\Rightarrow O(n^3) \subseteq O(\varepsilon^{-3})$  Laufzeit
  - $\Rightarrow O(n)$  Speicherbedarf
- $n$  größer als Anzahl der Gitterquadrate
  - $\Rightarrow$  initiale Gitter-Transformation
  - $\Rightarrow$  maximal  $2m^2$  Punkte
  - $\Rightarrow$  Verdopplung des additiven Fehlers zu  $12\sqrt{2}\phi$

## Beweis zu Satz 1 - Güte des erzeugten Spannbaums

- $\mathcal{D} \leq |\Delta(P)|$
- Setze  $\phi = \frac{\mathcal{D}\varepsilon}{12\sqrt{2}}$
- Für mindestens eine der Orientierungen gilt:

$$\frac{|\mathcal{T}(P)|}{|\Delta(P)|} \leq \frac{|\Delta(P)| + 12\sqrt{2}\phi}{|\Delta(P)|} \leq 1 + \frac{12\sqrt{2}}{|\Delta(P)|} \cdot \frac{\mathcal{D}\varepsilon}{12\sqrt{2}} \leq (1 + \varepsilon)$$

## Beweis zu Satz 1 - Komplexität

- Berechne  $\mathcal{D}$  als maximale vertikale oder horizontale Distanz: Zeit  $O(n)$
- Bestimmung von  $\phi$ : Zeit  $O(1)$
- Verwende  $\mathcal{D} \times \mathcal{D}$  Bounding Box
- Anzahl der Gitterquadrate:

$$\frac{\mathcal{D} \times \mathcal{D}}{\phi^2} = \frac{\mathcal{D} \times \mathcal{D}}{(\mathcal{D}\varepsilon)^2 / (12\sqrt{2})^2} = \frac{288}{\varepsilon^2} = O(\varepsilon^{-2})$$

- erste Gitter-Transformation: Zeit  $O(\varepsilon^{-1} + n)$
- weitere Gitter-Transformationen: Zeit  $O(\varepsilon^{-2})$

## Beweis zu Satz 1 - Komplexität

- Rücktransformation des RGMDST: Zeit  $O(\varepsilon^{-2} + n)$
- $O(\varepsilon^{-2})$  Laufzeit für jede Orientierung
- $O(\varepsilon^{-2} + n)$  initiale und finale Laufzeit
- Anzahl der Gitterorientierungen:

$$O\left(\frac{\mathcal{D}}{\phi}\right) = O\left(\frac{\mathcal{D} \cdot 12\sqrt{2}}{\mathcal{D}\varepsilon}\right) = O(\varepsilon^{-1})$$

⇒ Laufzeit  $O(\varepsilon^{-3} + n)$

## Zusammenfassung

- Bekannte exakte Algorithmen haben annähernd kubische Laufzeit
- Es ist keine untere Schranke des Problems bekannt
- Vorgestellter Approximationsalgorithmus ist linear in der Größe der Eingabe
- Laufzeitvorteil durch Reduktion auf  $O(\varepsilon^{-1})$  einfacherer Probleme
- Lösung der vereinfachten Probleme in Zeit  $O(\varepsilon^{-2})$
- Problemgröße  $n$  beeinflusst asymptotische Laufzeit nur bei der initialen Gitter-Transformation und bei der Rücktransformation
- Erstaunlicherweise dennoch Gütegarantie mit Faktor  $(1 + \varepsilon)$